

$N \rightarrow Br$

Cust. Noct. (NH_3 , PH_3 , AsH_3 , BH_3 , ND_3 , PF_3 ,
 PD_3 , AsD_3 , BD_3 , NF_2 , ND_2 , F_3 , PF_3 ,
 AsF_3 , BF_3 , NC_3 , PCl_3 , AsCl_3 , BCl_3 , NBr_3 ,
 PB_3 , AsBr_3 , BBr_3 , ND_3 , PF_3 , AsF_3 , BF_3)

King Shin-Tung, Overland J.,
J. Phys. Chem., 1969, 73, N2,
406-12

NB₃

OCUM 4468

1975

NB₄

Kulkarni K.S., et al.

Judicial Power and
App. Phys., 1975, 13,
VII, 780-2.

(paper)
3H. Ch. 34)

(all Cf₃) 2

NB2₃

* CS-13546^c

1976

NB1₅

Moorell J. N., et al.

J. Chem. Soc Dalton
Trans., 1976, N9, 818-22.

(D₂, T,
cyclohex.)

(Cu PF₃)

OTT. 6486

1978

BrN₃

(P=P; 8 Crys.)

(VI, cryskt.)

Dehnicke K., et al

Z. Naturforsch., B:
Anorg. Chem., Org.
Chem. 1978, 33B(7),
450-2



(Crys. CN₃; III)

NBr₂

1978

Mohan S., Manickkavchagam R.

Indian J. Pure and Appl. Phys.,
1978, 16, n1, 55-57.

авт. ност.

Четвертьюб.

искалечи.



(авт. CF₂) III

$\text{Br} N_3$

отмечая 9323

1980

Frost D.C., et al

Chem. Phys., 1980, 47, N 1,
111-124.

фотозр.
сспектр

см $\text{Cl} N_3$; Σ^+

NBr₃

1980

Kadelenov D. T.

Dokl. AH CCCP. 1980
254, N4, 934-8

бумажный
кореограф и
комедия.
популярность

cut. NF₃ - 115

NBr_2

1982

Kohlmüller Ch. K.,
et al.

УК-секріп
^б
макірує.
Інрг. хем. 1982,
21 (4), 1519 - 1522.

(сес. NCl_2 ; III)

NBr_2

1982

Kohlmiller C. K.,
Andrews L.,

Vi, реценз., Inorg. Chem., 1982,
Сієрнхайма 21, N 4, 1519-1522.

(см. NCl_2 ; III)

BrN₂

88/3

22 Б1486. Фотодиссоциация азида брома.
Photo-dissociation of bromine azide. Соомб R. D. «J. Chem. Phys.», 1983, 79, № 1, 254—264 (англ.)

Методами оптич. спектроскопии испускания и поглощения изучён фотолиз BrN₂ (I) (давл. 1—3 Торр). в присутствии N₂ (общее давл. 6 Торр) под действием света 222 нм импульсного лазера на KrCl (энергия импульса $E \leq 6$ мДж/см²) и 308 нм импульсного лазера на XeCl ($E \leq 40,0$ мДж/см²). Поглощение I в УФ-области обнаруживается при $\lambda \leq 360$ нм: полосы с максимумом при 287 и 216 нм. Фотолиз I светом 222 нм сопровождается люминесценцией (Лм) в видимой области, обусловленной переходом N₂(B³P_g → A³Σ_u⁺) с участием колебательных уровней $v' \leq 6$, и наблюдением последовательностей с $\Delta v = 3, 2, 1$. Образование NBг(b'¹Σ⁺) не обнаружено. С ростом E интенсивность Лм N₂ линейно возрастает. Временная зависимость интенсивности Лм N₂ характеризуется начальным большим пиком длительностью ≈ 5 мкс и последующим экспоненциальным спадом за время ~ 100 мкс. Из зависимостей Штерна—Фольмера найдено, что образование N₂(B³P_g) обусловлено р-цией псевдопервого

Фотодиссо-
циация

X. 1983, 19, N₂

порядка с константой скорости $(1,2 \pm 0,2) \cdot 10^{-12}$ см³/молекула·с. Добавка NO приводит к интенсивной Лм NO($A^2\Sigma^+$), обусловленной переносом на NO энергии от N₂($A^3\Sigma_u^+$). Временная зависимость Лм NO($A^2\Sigma^+$) указывает на образование N₂($A^3\Sigma_u^+$) в перв. процессе фотолиза. Фотолиз I обнаруживает Лм и в УФ-области. Полоса Лм при 336 нм отнесена к переходу NH($A^3\Pi \rightarrow X^3\Sigma^-$), образуемого при столкновении N₂($A^3\Sigma_u^+$) и HN₃. Полоса Лм при 292 нм обусловлена переходом D'($^3\Pi_{2g}$) $\rightarrow A'$ ($^3\Pi_{2u}$)Br₂. Фотолиз I светом 308 нм характеризуется теми же спектрами Лм, что и при фотолизе светом 222 нм, но с пониженными в неск. раз интенсивностями. Считается, что механизм фотолиза I светом 222 и 308 нм включает р-ции: I ($^1A'$) $+hv\rightarrow$ N₂($^3\Sigma_u^+$) $+NBrg(X^3\Sigma^-)$, $\rightarrow Br(4^2P_{3/2})+N_3(X^2\Pi_g)$, Br $+Br-N_3\rightarrow Br_2+N_3$, N₂($A^3\Sigma_u^+$) $+Br_2\rightarrow$ N₂($X^1\Sigma_g^+$) $+Br_2(D^3\Pi_{2g})$.

Ю. И. Дорофеев

се-1
проц

$F + BrN_3$

Om. 18328

1983

Coombe R.D., Yam C.H.-T;

Химическая
реакция

J. Chem. Phys., 1983,
79, N8, 3746-48.

Cl + BrN₃

[Om. 18328]

1983

Coombe R.-D., Lam C.H.-T.,

Xenon
peakline

J. Chem. Phys., 1983,
79, N8, 3746-48.

$NH_3 \cdot HBr$ DM. 19860 1984

Breit A., Karpfen A.,
et al.,

ab initio
pacrem

Chem. Phys., 1984,
89, N³, 337-343.

Nbr3

[act. 20331]

1984

Grodzicki M., Walther

H., et al.

злекмп.

сүйрүкм.²,
M., paedem
у жерепен.

Z. Naturforsch.

1984, B39, N10,

1319-1330.

NBr₃

1984

Grodzicki M., Walther H.,
Elbel Susanne.

Pomorskiekmp.

Chekmpt,

Cmykmp.;

Y, girkougm.
elodrelim.

Z. Naturforsch., 1984,
B 39, N 10, 1319-1330.

(cu: NH₃; III)

NBr_3 [Om. 18842] 1984

Xir M., Chow Chiu L.,
et al.

photoelectr. J. Electron Spectrosc.
Chemp, and Relat. Phenom.,
paerim. 1984, 33, N2, 93-105.

$NH_3 \dots HBr$

Om. 21588 1985

8 Д163. Неэмпирическое исследование комплексов с водородной связью $NH_3 \dots HBr$, $PH_3 \dots HBr$, $AsH_3 \dots HF$, $AsH_3 \dots HCl$ и $AsH_3 \dots HBr$. Ab initio study of the hydrogen-bonded complexes $NH_3 \dots HBr$, $PH_3 \dots HBr$, $AsH_3 \dots HF$, $AsH_3 \dots HCl$ and $AsH_3 \dots HBr$. Hinchcliffe Alan. «J. Mol. Struct.», 1985, 121, Suppl.: «Theochem.», 22, 201—205 (англ.)

Строение комплексов $XH_3 \dots HY$ ($X=N, P, As, Y=Br, F, Cl$) исследовано неэмпирич. методом ССП с использованием струпированных гауссовых базисов Даннинга и Вейяра, расширенных d -орбиталями атомов X и Y . В предположении жесткости фрагментов XH_3 определены равновесные геометрич. параметры, энергии диссоциации и кулмановские потенциалы ионизации комплексов. В случае $X=P$, $Y=Br$ проведено сравнение результатов с данными микроволн. спектроскопии; теоретич. значение равновесного расстояния $P-Br$

гомогенность,
структур

(18)

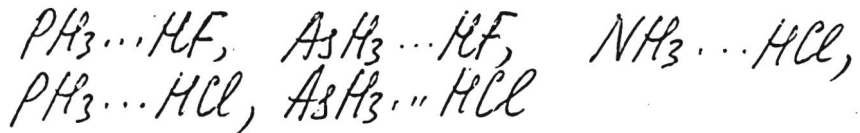
☒

cf. 1985, 18, N 8

$PH_3 \dots HBr$,
 $AsH_3 \dots HBr$, $NH_3 \dots HF$,

оказалось завышенным на 10%. Проанализированы маллигеновские заселенности орбиталей и атомов; показано, что межмолекулярный перенос заряда при образовании комплексов незначителен. Найдены дипольные и квадрупольные моменты зарядовых распределений комплексов и свободных мономеров.

А. В. Зайцевский



NBr_3 1986

El-Issa Basheer D.,
Zarati Huda M.

paper
J. Chem. Soc. Faraday
Trans.

Trans., 1986, Pt 2,
N1, 93-99.

(catal. PF_3 ; iii)

NBr_3

1988

Clotet A., Rubio J.,
et al.

J. Mol. Struct. Theo-
chem., 1988, 164, N 3-4,
351 - 361.

(see. NH_3 ; III)

BrN_3^+

[om. 30490]

1988

Jacob vll.E.,

Ti, Pi; J. Phys. and Chem. Ref.

Data, 1988, 17, N2, 397.



$\text{Br}_2\text{N}-\text{NB}_2\text{Br}_2$

[Om. 34175]

1990

Stølevik R., Bakker P.,
Kleppen, J. Mol. Struct. 1990,
Eel. 220, 269-277.
noeei. Conformational structures and energies, rotational barrier heights and

torsional oscillations in tetra-
halodiphosphines, tetrahalohy-
drazines and X_2N-PX_2 mole-
cules.

NaD-KBr (OM 34656) 1990

Zeng Y.P., Sharpe S.W.,
et al.

Ukcremp J. Chem. Phys. 1990, 93,
N1, 183-196.

Infrared absorption spectroscopy of gas-phase

N_2O-HX ($X = F, Cl, Br$)

weakly bonded complexes
utilizing the N_2O V_3
chromophore.

N₃H

LM 36685 /

1992

anhydride,
ab initio Otto M., Lotz S.D. et al.,
inorg. Chem. 1992, 31,
page 3647 - 3655.

Quantum Mechanical ab Initio
studies of the structures
and stabilities of halogen azides

XN_3 ($X=F, Cl, Br, I$)

NBr_2^+

Bobbi A., Frankenf., 1993

America
Camerun.

II

Macmillan
Edinburgh.

Meopham
Essex

Bull. Chem. Soc. Jpn.,
1993, 66(II), 3153-65

(all.)



$NF_2^+ ; \text{ III}$)

NBr_3

1993

Singh Prem,
Dieblish A. K.

Indian J. Pure and
Appl. Phys. 1993. 31, N.3.

M.N.

C. 1993 - 1994.

(catal. BF_3 ; III)

NBr₃

1994

M.N.

Muhammad Hasan.
8th Int. Congr. Quantum
Chem., Prague, June 19-23,
1994; Book Abstrs [Pra-
gue] 1994. C. 235.

(see \bullet NF₃; II)

NBy_3

1994

Novak Igor.

Heteroat. Chem. 1994,

5(2), 145-8.

лит.

струйкм.

и СВ-Б2,

троп.

пакет

(сес. $NH_2 Br$; iii)

$\text{H}_3\text{N} \dots \text{BrCl}$

1995

122: 250770w Charge-transfer complexes of ammonia with halogens. Nature of the binding in $\text{H}_3\text{N} \dots \text{BrCl}$ from its rotational spectrum. Bloemink, Hannelore I.; Legon, A. C.; Thorn, Joanna C. (Dep. Chem., Univ. Exeter, Exeter, UK EX4 4QD). *J. Chem. Soc., Faraday Trans.* 1995, 91(5), 781-7 (Eng). The ground-state rotational spectra of the 4 isotopomers $\text{H}_3^{15}\text{N} \dots ^{79}\text{Br}^{35}\text{Cl}$, $\text{H}_3^{15}\text{N} \dots ^{18}\text{Br}^{35}\text{Cl}$, $\text{H}_3^{15}\text{N} \dots ^{79}\text{Br}^{37}\text{Cl}$ and $\text{H}_3^{15}\text{N} \dots ^{81}\text{Br}^{37}\text{Cl}$ of a complex formed by NH_3 and Br monochloride were obsd. by pulsed-nozzle, FT microwave spectroscopy. A fast-mixing nozzle was used to prevent a chem. reaction between the components and allow the encounter complex to

be isolated. The nature of the spectra establishes that the obsd. isotopomers are sym.-top mols. Assignment and anal. of the spectrum in each case led to the rotational const. B_0 , the centrifugal distortion consts. D_J and D_{JK} , the halogen nuclear quadrupole coupling consts. $\chi(\text{Br})$ and $\chi(\text{Cl})$, and the component $M_{bb}(\text{Br})$ of the Br spin-rotation coupling tensor. The rotational consis. allowed an r_0 -type value of the distance $\text{N} \dots \text{Br}$ of 2.627 Å to be established. An r_0 -type method led to the distances $r(\text{N} \dots \text{Br}) = 2.59(1)$ Å and $r(\text{Br}-\text{Cl}) = 2.186$ Å, the former requiring a value of B_0 for $\text{H}_3^{14}\text{N} \dots ^{79}\text{Br}^{35}\text{Cl}$ obtained from unperturbed transition centers estd.

Prallwan.
Cleking,
Copy & myne
not attempt

C. A. 1995, 122, N 80

without a full hyperfine structure anal. A consideration of the intermol. stretching force const. k_s , detd. from D_J , provides evidence of a relatively strong interaction between the subunits. However, an anal. of the $\chi(X)$ ($X = \text{Br}, \text{Cl}$) values reveals that the mol. interaction is mainly electrostatic in origin, with probably only a small extent of intermol. elec. charge redistribution on complex formation.

1995

F: BrN3

P: 3

5Б1215. Экспериментальное и теоретическое исследование колебательных спектров ковалентных азидов X-N[3] (X=H, F, Cl, Br, I). Расчеты методом функционала плотности в сопоставлении с другими неэмпирическими приближениями. Experimental and theoretical vibrational studies of covalent X-N[3] azides (X=H, F, Cl, Br, I). Application of the density functional theory and comparison with ab initio results / Schulz Axel, Tornierporth-Oetting Inis C., Klapotke Thomas M. // Inorg. Chem. - 1995. - 34, N 17. - С. 4343-4346. ·
Англ.

Получены ИК- и КР-спектры XN[3] (X=F, Cl, Br, I) в газ. фазе. Интерпретация спектров этих соединений и HN[3] уточнена с помощью расчетов частот и форм колебаний методами функционала плотности и других неэмпирич. приближений. Отмечено, что на коррелированном уровне теории функционала плотности с функционалом B-LYP частоты передаются вполне удовлетворительно без обычного масштабирования.

P. X.X. N5, 1996

NH₃-HCl

1998

Leyton A.C.,

cuu. no cm.

neopentyl
acetate

Chem. Commun. (Cambridge)
1998, (23), 2585-86

(cu. O - ● Fe; III)